休止時間を含んだ刺激方法における 3-D SEF の刺激周波数-位相特性の検討

Discussion of SEFs Responses to Thumb Stimulation of Different Stimulus Repetition Frequencies with Recovery Periods

大輪正弘*、金鳳洙**、小林宏一郎***、宮永裕樹*、綾部孝宏*、内川義則* *東京電機大学大学院理工学研究科,埼玉県比企郡鳩山町石坂(〒350-0394) **東京電機大学理工学部,埼玉県比企郡鳩山町石坂(〒350-0394) ***岩手大学工学部, 岩手県盛岡市上田 4-3-5(〒020-8551)

M. Owa*, B. S. Kim**, K. Kobayashi***, H. Miyanaga*, T. Ayabe*, and Y. Uchikawa* *Graduate School of Science and Engineering, Tokyo Denki University, Ishizaka, Hatoyama, Hiki, Saitama 350-0394, Japan **School of Science and Engineering, Tokyo Denki University, Ishizaka, Hatoyama, Hiki, Saitama 350.0394, Japan ***Faculty of Engineering, Iwate University, 4·3·5 Ueda, Morioka, Iwate 020·8551, Japan

A three-dimensional magnetic measurement of somatosensory evoked fields (SEFs) by electric stimulus to the right thumb for five normal subjects was carried using a three-dimensional second-order gradiometer connected to 39-channel SQUIDs, which can detect magnetic field components perpendicular to the scalp (Br) and tangential to the scalp (B0, Bb) simultaneously. To discuss the relationship between the phase lag of SEFs and stimulus repetition frequency (SRF), the delay time of a component synchronous with the SRFs (stimulation was 2 to 7 train variety with 3.0 to 30.3 Hz, having a recovery period of 500 ms) was calculated by the convolution of the reference signal and the SEF wave (BPF: 1-40 Hz). The phase lag characteristic to the SRF differed in three ranges. Dominant slope appeared for two ranges (blow 8 Hz, 8 to 20 Hz) in all magnetic components. Dominant slope did not obtained in the range of more than 20 Hz SRF to the transient SEF waveforms. However, the dominant slope was obtained in the steady-state waveforms. We tested results for significance of the linear regression slope ($\beta \neq 0$, P<0.05).

Key words: three-dimensional second-order gradiometer, SQUID, SEFs, interstimulus interval, contralateral hemisphere, Singular Value Decomposition

1. はじめに

高感度磁気センサであるSQUID磁束計を用いた生体磁気計測 では、生体から発生する磁場を高分解能で同時に多点計測するこ とが可能であり、外界から与えられる刺激により誘発される脳磁 界(体性感覚誘発脳磁界,SEF: Somatosensory Evoked Field)の 応答を計測し、ヒトの感覚や認知といった脳内の情報がどのよう に伝達されているかを捉える試みが行われているり。2 . その中で もヒトのある部位に電気刺激を与えることで刺激と反対側の体性 感覚野のSEFについては、刺激間隔(ISI:Inter Stimulus Interval) が十分に長い単一刺激による過渡応答において種々の報告がされ ている123).

一方,上肢末梢神経について,ISIが短い連続的な刺激による応 答(定常応答)を計測した報告がいくつかなされており、S. J. Williamson⁴らは、刺激の繰り返し周波数(以後、刺激周波数と呼 ぶによる位相遅れが、18 Hzより高い周波数で線形性が保たれて いるとの報告をした. S. Kuriki5/~7らは、ロックインアンプによ

って刺激と同期した余弦波の参照信号から刺激周波数・位相特性 として,三つの直線(傾き)が表れることを示した.B.S. Kim8らは, 一つの部位で磁界の三成分(法線成分: Br, 接線成分: Bo, Bo) が同時に計測できる三次元磁界検出コイルを用いて、同様の刺激 周波数・位相特性を求めたところ、Br成分とBO成分において共に 傾きの異なる2つの直線を示し類似した特性結果を報告している. さらに右手親指刺激と同側、および対側における刺激周波数・位相 特性を求めたところ、対側では異なる2つの傾きが得られ、同側で は1つのみ傾きが得られたことを報告している⁹. また、Kakigi¹⁰⁾ら は、刺激の間に一定の休止時間を含む刺激パターンを用いたSEF 計測から、刺激周波数とSEFの振幅応答変化について検討した. しかし、これらの刺激周波数位相特性に関する報告はほとんどな いのが現状である.

著者らは体性感覚野の応答特性を検討するために、ISI を変化 させた電気刺激を右手親指に与え、三次元 SEF 計測を行った. 誘 発応答の回復を考慮するため、500 ms の休止時間を設定した刺激 方法を用いた. 得られた三次元 SEF 波形に対して相互相関関数を 用いて刺激周波数・位相特性を求め、検討したので報告する.

2. 解析方法

2.1 特異值分解

測定点i(i =1,2,3,...,I)におけるサンプリング時間j(j=1,2,3,...,J)中に得られる磁界は,各測定点における時間べ クトルの集合としてI×Jの行列Bとして表せる. この行列 Bに対して、特異値分解を行う. 行列Bの特異値分解は次 の形で表される11人

$$B = U\Omega V^{T} \tag{1}$$

$$Q = diag\left(\sqrt{\lambda} - \sqrt{\lambda} - \cdots - \sqrt{\lambda}\right) \tag{2}$$

 $\Omega = diag\left(\sqrt{\lambda_1}, \sqrt{\lambda_2}, \cdots, \sqrt{\lambda_n}\right)$ (2) ここで $\lambda_1 \ge \lambda_2 \ge \lambda_3 \dots \ge \lambda_n > 0$, R=rank(B)であり、各 $oldsymbol{\lambda}$ は $\mathbf{B}\mathbf{B^T}$ の非零固有値を示し,その数 \mathbf{R} は行列 \mathbf{B} の行と列 の大きさに依存している. Uの各列uはBBTの非零固有値に 対応した固有ベクトルであり、Vの各列vは B^TB の非零固有 値に対応した固有ベクトルである(以後U, Vを特異ベクト ルと記す). 磁界データBの特異値の対角成分をもつ対角行 列 Ω はBBTの非零固有値λにより式(2)のように表される.

2.2位相検出方法

ISIを変化させSEF波形の刺激に対する誘発応答の位相遅れを

検出するために、相互相関関数(たたみ込み)20を用いた。休止時間終了後の最初の刺激開始点を基準(位相遅れが 0 ms)として、誘発応答のピークの時間遅れ(位相差)を検出した、刺激に同期した刺激 周波数fと同じ周波数をもつ余弦波を参照信号(s(t)=∞s(2πft))とし、その参照信号とSEF波形のたたみ込みにより、刺激周波数成分を4∞s(2πft・ø)として抽出し、相関値がピークを示す時点を位相差として検出した。 ISIが最も長い3.00 Hzから時間遅れの検出を始め、その後は相関値のピークを示す時点が前のISIで検出した時間遅れと最も近いものを位相差として検出した。 位相差の検出のために用いた関係式を以下に示す。

$$R_{B,S}(\tau) = B(t) * S(t)$$
(3)

 $\tau_{peak B,S} = \arg peak R_{B,S}(\tau)$ (4)

B(t)は実測SEF波形、S(t)は参照信号、 $R_{B,S}(\tau)$ は相互相関関数、 τ_{peakBS} は相関値がピークを示す時の位相差を示している。

3. 実験方法

被験者5名(男性:21~33歳)について、被験者の右手親指に刺激用電極リング電極を装着し、電気刺激を与えた対側において三次元SEF計測を行った。計測には、一つの部位で磁界の三成分(法線成分:Br,接線成分:B0,B0)が同時に計測できる三次元磁界検出コイルを内蔵した39ch·SQUID磁束計(ノイズキャンセル用:3ch)を用いた。計測部位(図中黒丸点)と座標系をFig.1に示す。Fig.1におけるC3,Czは、脳波の国際標準電極配置法(ten・twenty electrode system)¹³に対応している。計測間隔は2cm、計測点は8×6の48点である。計測に際し、計測部位(4箇所にデュワーを移動(4回)させて、三次元SEFを計測した。

刺激は、各被験者が刺激を感じた電流値を閾値とし、その 1.5 倍の矩形波パルス(パルス幅:0.2 ms, 強度:3.0~6.5 mA)を用いた. ISI は31~333 ms(3.00~30.30 Hz)の範囲で設定し、2回から7回まで連続して刺激を与えた後、500 ms の休止時間を設けた. Fig.2 に刺激条件例を示す.

計測データは、通過帯域幅 $0.5\sim300~Hz$ のアナログフィルタを通し、サンプリング間隔 1~ms で A/D コンバータ (16~bit)により量子化し、加算平均を $300~回行い、ディジタルフィルタ <math>(1\sim40~Hz)$ BPF)で処理を行った。ベースラインは刺激開始前の 10~ms 間の平均値を用いた。

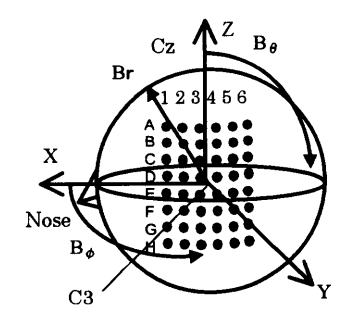


Fig. 1 Measurement points and coordinate system.

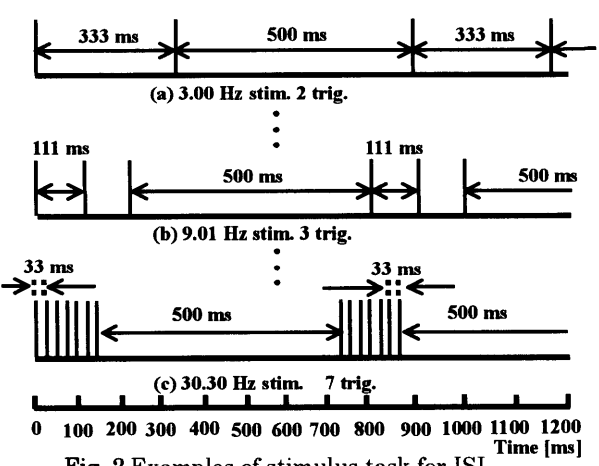


Fig. 2 Examples of stimulus task for ISI.

4. 結果と考察

4.1 計測結果例

5 名の被験者に対し、右手親指に電気刺激を与え、Caを中心に三次元SEF計測を行った。Fig.3 に48 点の測定点から得られたSEF波形の重ね書き波形例(被験者C)を示す。Fig.3 は刺激開始後から休止時間にはいるまでの波形であり、各波形の下に表す黒い棒は刺激を印加したタイミングを示す。

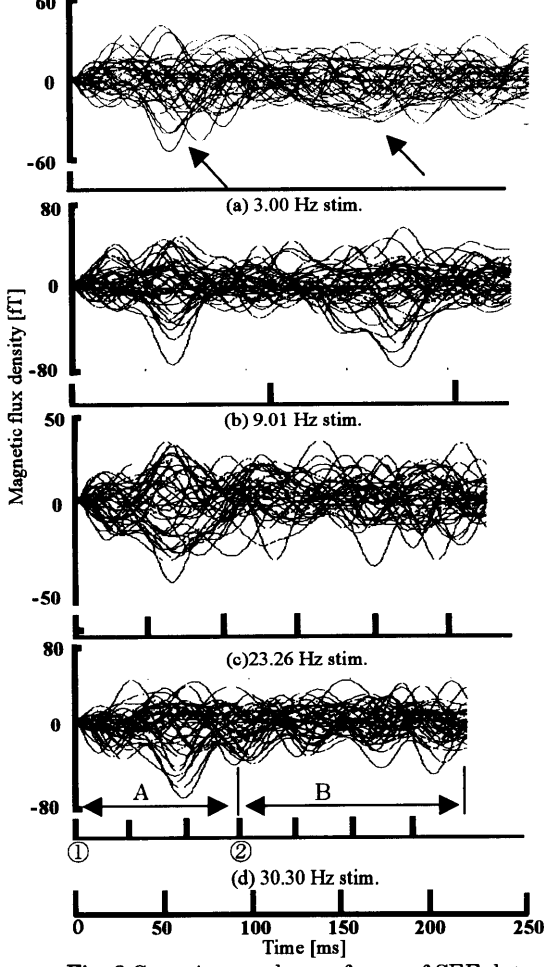


Fig. 3 Superimposed waveforms of SEF data (Br component).

ISI が十分に長い過渡応答(Fig.3(a))の SEF 波形では約50~80 ms のピークと不明瞭であるが約150~200 ms において緩やかなピークが見られる. 一方, ISI が短くなるに従い、後方の振幅のピークが次の刺激による誘発応答と重なり合い見かけ上分離できなくなる(Fig.3(b)). さらに ISI が短くなると、約50~80 ms の潜時のピーク後までは ISI が長い時と類以した応答となっているが、その後、少しずつ定常応答に移行していることがわかる (Fig.3(d)).

各磁界成分の SEF 波形より特徴的な信号波形を検討するために、SEF データに対し SVD(特異値分解)を適用した. 占有率 5%以下をノイズとして考え、SVD によって得られた第1番目から第3番目までの特異値と特異ベクトルを用いて SEF 波形の再構成を行った.

4.2 刺激周波数 位相特性

SVD によって再構成した SEF 波形に刺激と同期した余弦波を参照信号とする相互相関関数を用いて刺激周波数・位相特性を求めた、刺激周波数・位相特性を求める際に、SEF の顕著なピークを示す潜時で極値を示した 4 つの測定点(D2, D3, F4, F5)の磁界データを用いた。それぞれ第1 特異値のみ、第1 特異値と第2 特異値、第1 特異値から第3 特異値まで用いて再構成した SEF 波形に対する刺激周波数・位相特性を求め、検討を行ったが、第1 特異値のみの特性、第1 特異値と第2 特異値の特性では Fig.3 の波形との相関が低かったため、第3 特異成分までの再構成したデータを用いて、刺激周波数・位相特性を求めた。

Fig.4 に各被験者の 4 つの測定点から得られた刺激周波数・位相 特性の平均値(■)と標準偏差を、Fig.5 に全被験者 5 人の刺激 周波数・位相特性の平均値(■)と標準偏差を示した、また、 最小二乗法により求めた回帰直線を同時に示した. この直 線は位相遅れを表しており、 ϕ は ϕ = $2\pi ft$ + θ の関数で表さ れ,傾き $(d\phi/df)$ は $2\pi t$ であり,このtは誘発応答の潜時を 表していることになる5)~7). Fig.4, Fig.5 の結果では,約8 Hz, 20 Hz付近を境界にして3つの領域に分離して分布していること がわかる. Fig.4, Fig.5 において, 各領域の傾きをt₁(ISI:3 ~8 Hz), t₂(ISI:9~17 Hz), t₃(ISI:23 Hz~)として示した. Fig.4 の各磁界成分から約 140~200 msまでの傾きを持つ t1と約 40~90 msまでの傾きを持つt2, 傾きが顕著でない taが得られた、Fig.5 の平均値はBr成分(Fig.5(a))で t₁=187.8±26.4 ms, t₂=59.0±15.5 ms, Bo成分(Fig.5(b))で t₁=172.1±30.8 ms, t₂=75.1±17.8 ms, Bo成分(Fig.5(c))で t_1 =143.1±20.8 ms, t_2 =70.1±11.7 msであり, t_1 , t_2 に対し て回帰直線について有意性を判定するため、回帰係数によ る検定14)を行った、その結果、棄却率を 5%とした際に各 成分の t_1 と t_2 に関して有意性が認められた($\beta \neq 0$, P<0.05) ため、t₁は約 140~200 ms, t₂は約 40~90 msの誘発応答 の潜時を表していると考えられる. しかし、taに関しては 傾きにばらつきがみられ、顕著でない結果となり、検定に おいても各成分で有意性が認められなかったことから誘 発応答の潜時を示していないと考えられる.

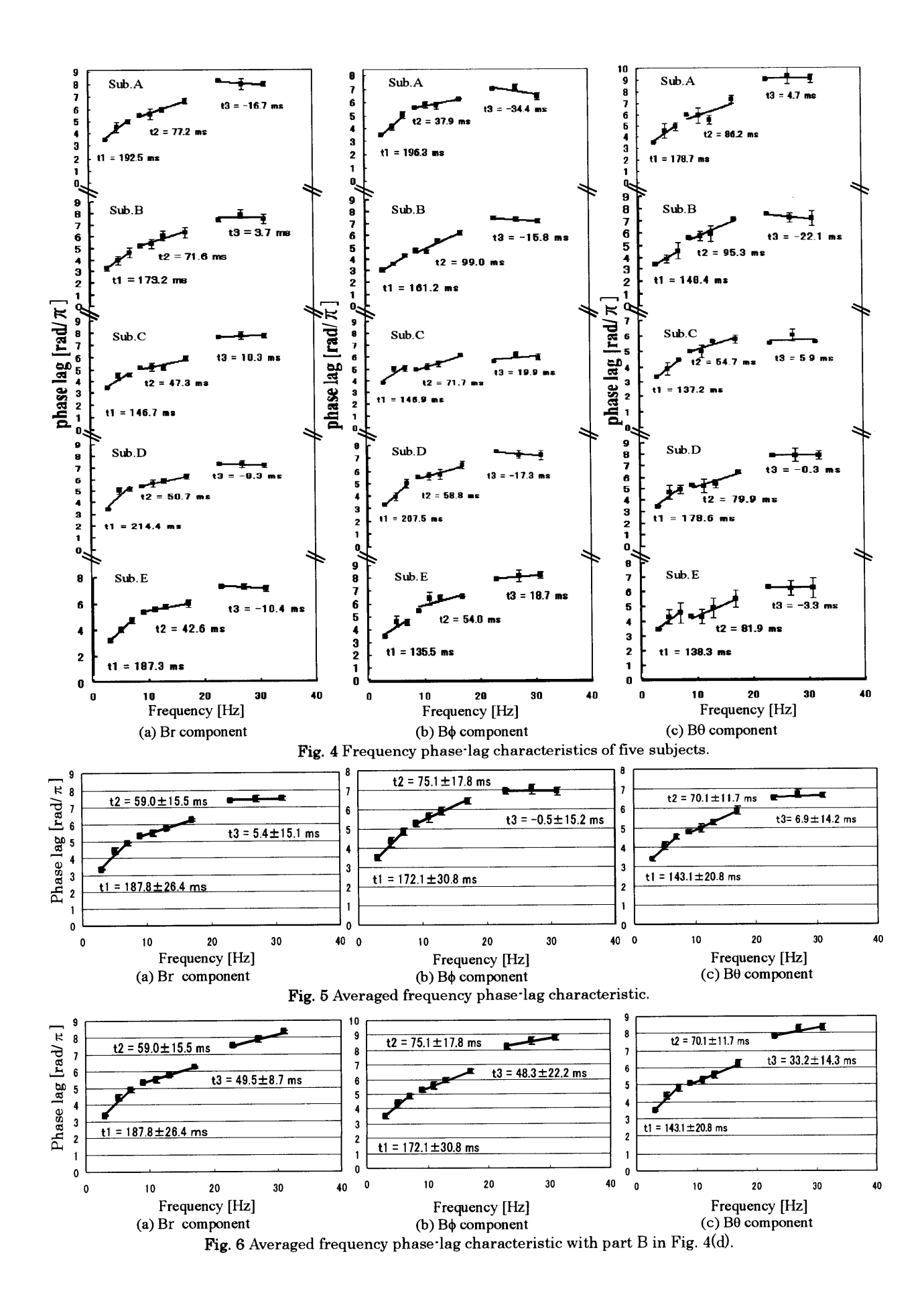
られた. さらにISIが短くなるとSEF波形が変化し、Fig.3(d)のB 区間と同様に律動的な定常応答波形が得られた、これらの報告で は刺激周波数の増加に伴い 2 つ以上の直線(傾き)が表れることを 示している. 一方, 本研究では2つの傾きt1, t2と傾きが顕著 でないtaが得られた、このことは連続した刺激を常に与え ていた以前の報告とは異なり、Fig.2 のように連続した刺 激を与えた後、体性感覚野の誘発応答の回復を考慮して、 500 msの休止時間を設定したためであると考えられる. そ の結果,刺激と同期した定常応答による刺激周波数・位相特 性の報告^{8), 9)}とは違い, Fig.3(d)のように過渡応答(同図 A 区間)と定常応答(同図 B区間)が混在する波形が得られた. そのため、休止時間直後の刺激点(Fig.3(d) ①)を基準とし て求めた刺激周波数·位相特性(Fig.4, Fig.5)においては, 傾きのないtsが得られたと考えられる.一方,定常応答が 表れた刺激点(Fig.3(d) ②)を基準として求めた刺激周波数 ・位相特性(Fig.6)では、以前の報告と同様に顕著な傾き(Br 成分:t₃=49.5±8.7 ms, Bo成分:t₃=48.3±22.2 ms, Bo成 分:t3=33.2±14.3 ms)が得られた. 以上の結果から, 休止時 間を含む刺激による三次元SEFの刺激周波数・位相特性の 変化を捉えることができたと考えられる.しかし,過渡応 答と定常応答が混在する今回の三次元SEF波形における 位相検出方法に関してはさらなる検討が必要であると考え られる.

4.3 シミュレーションによる傾きの検討

以上の刺激周波数・位相特性を踏まえ、Br成分のシミュレーションを行い、t₁、t₂、t₈の傾きに関する検討を行った。シミュレーションに用いた模擬波形例をFig.7に示す。Fig.7(a)はISIが最も長い333 ms(3.00 Hz)の波形であり、0 ms(同図下段の0 ms上の黒い棒■)で刺激パルスが与えられることとした。刺激に対する誘発応答としては50 msの幅を持つ正規化した半周期の正弦波を用いた。3~8 HzのISIに対する誘発応答では150 msにピークが表れるようにした(150±25 ms)。刺激周波数が短くなり8 Hzを越えると150 msの擬似応答は次の刺激による応答と重なり見かけ上分からなくなるので60 msに誘発応答のピークが表れることとした(Fig.7(b))。

さらにISIが短くなり、20 Hzを超える(Fig.7(c)、30.30 Hz)と休止時間終了後の第 1 刺激による誘発応答のピークは 60 msに表れるように固定し、その後の刺激によるピークは応答が重なり合うためランダムな時間で表れることとした。シミュレーションから得られた刺激周波数 位相特性の結果をFig.8 に示す。同図をみると 3 Hzから 8 Hz までの刺激周波数では一つの傾き(t_1 =147.2 ms)が得られ、8 Hz~17 Hzでは t_1 とは異なった傾き(t_2 =57.6 ms)が得られ、20 Hz以上では特性にばらつきが生じ、傾きが顕著でない(t_3 =-10.9 ms)ものとなった。

以上のシミュレーション結果は Fig.5 に示した第3特異値までで再構成した SEF 波形の刺激周波数・位相特性とほぼ一致しており,刺激周波数・位相特性が約8 Hzと約20Hzを中心に刺激と同期して一定時間後に応答が表れる2つの



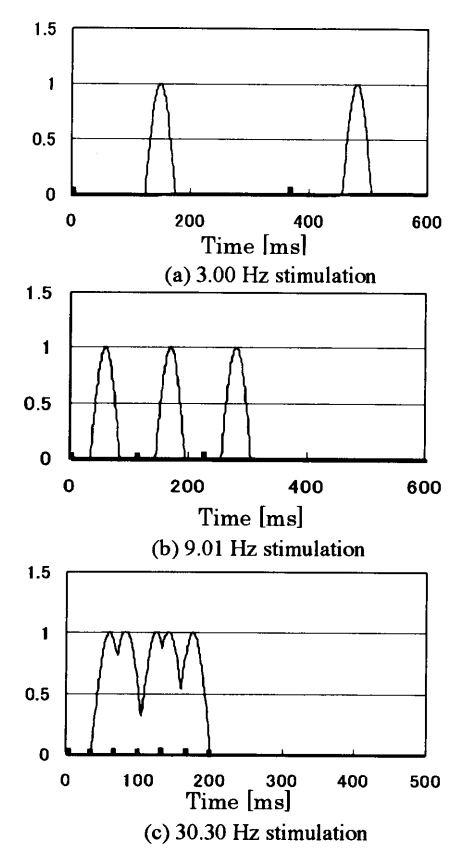


Fig. 7 Examples of waveforms for simulation.

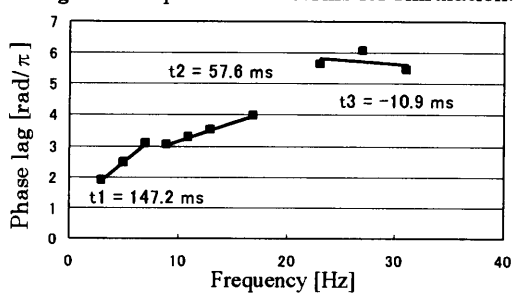


Fig.8 Frequency phase lag characteristic of simulation results.

区間(t1, t2)と、刺激との同期がなくなりランダムに反応が表れる区間(t3)が存在することが示唆された. このシミュレーション結果より、脳内感覚野の外部刺激に対する応答が、ある刺激周波数を境に傾きがある部分(Fig.8, t1, t2)と傾きが顕著でない部分(Fig.8, t3)が表れることから、Fig.8に示した刺激周波数・位相特性が得られたと考えられる. しかし、その詳細については更なる検討が必要である.

5. まとめ

右手親指へ電気刺激を与え、休止時間を含む ISI の変化 に伴う三次元 SEF 計測を行い、体性感覚野における刺激 周波数・位相特性を取得した. SVD を用いて再構成した三次元 SEF 波形における刺激周波数・位相特性より, 法線磁界成分と接線磁界成分において, 約 20Hzまでの低い刺激周波数の場合には過去の報告®、9)と同様に 8Hz付近を境界に傾きの異なる 2 つの直線が得られた. また, 20Hz以上の高い刺激周波数においては過渡応答の部分では傾きが顕著でない結果となったが, 定常応答では従来と同様に顕著な傾きが得られた. 傾きの信頼性の検定とシミュレーションによる検討を行い, 過去の報告との比較を行った. 今後は本研究のような刺激方法における高い刺激周波数での三次元SEFの過渡応答および定常応答について詳細な検討を行う予定である.

謝辞 本研究の一部は、東京電機大学総合研究所 (Q035·04),東京電機大学フロンティア共同研究センター, 文部科学省「21世紀 COE プログラム:操作能力熟達に適応するメカトロニクス」,(財)磁気健康科学研究振興財団の 助成の下行った.

References

- M. Kotani, Y. Uchikawa, Y. Nakaya, H. Mori, S. Kuriki: Measurements of Biomagnetism (CORONA PUBLISHING, Tokyo, 1995).
- K. Hara, S. Kuriki: Neuromagnetism (Ohmsha, Tokyo, 1997).
- K. Kobayashi, K. Sakawa, Y. Uchikawa: Journal of Magnetics Society of Japan, 20, 667(1996).
- D. Brenner, J. Lipton, L. Kaufman, S. J. Williamson: Science, 199, 81(1978).
- Y. Mizutani, S. Kuriki: Tech. Rep. of IEE Japan, MAG 88, 45, 11(1988).
- Y. Mizutani, S. Kuriki: Tech. Rep. of IEICE, MBE 85, 39, 45(1985).
- 7) S. Kuriki, Y. Mizutani, Y. Isobe: *IEEE Trans. Magn.*, MAG-23, 1068(1987).
- B. S. Kim, H. Ando, K. Kobayashi, Y. Uchikawa: Journal of Magnetics Society of Japan, 26, 602(2002).
- A.Takahashi, K. Kobayashi, B. S. Kim, and Y. Uchikawa: Journal of Magnetics Society of Japan, 28, 640 (2004).
- M. Hoshiyama, R.Kakigi: Clinical Neurophysiology 114, 178 (2003)
- 11) K. Kobayashi, Y. Uchikawa, K. Yamazaki, Y. Yamada: *IEE Japan*, 120-A, 8,120(2000).
- Y. Ehara: Digital signal processing (TDU PRESS, Tokyo, 1991).
- 13) T. Okuma: Clinical Electroencephalography (IGAKU SHOIN, Tokyo, 1990).
- K. Ichihara: Statistics for Bioscience (Nankodo, Tokyo, 1991).

2004年10月6日受理, 2005年2月8日採録